

دراسة تحسين دقة تحديد الموضع الداخليّة عبر Wi-Fi RSSI باستخدام تقنيات معالجة البيانات وخوارزميات التعلم الآلي: دراسة تجريبية لبيئة تعليمية بكلية العلوم التقنية - مصراتة CTSM

محمود محمد محمد الصغير<sup>1</sup>، عبد العزيز محمود سليمان سويب<sup>2\*</sup>

قسم الحاسوب، كلية العلوم التقنية، مصراتة، ليبيا<sup>2</sup>

**A study to improve indoor positioning accuracy via Wi-Fi RSSI using data processing techniques and machine learning algorithms: An experimental study of an educational environment at the College of Technical Sciences - Misurata (CTSM)**

Mahmoud Mohamed Elsaghayer<sup>1</sup> ، Abdulaziz Mahmud Suwayeb<sup>2\*</sup>

<sup>1,2</sup>Computer Department , Collage of Technical Sciences , Misurata , Libya

\*Corresponding author: [aswaype@gmail.com](mailto:aswaype@gmail.com)

Received: May 26, 2025

Accepted: July 22, 2025

Published: July 31, 2025

#### الملخص

تكتسب أنظمة تحديد الموضع الداخليّة (IPS) أهمية متزايدة في التطبيقات التي تتطلب تتبعاً دقيقاً داخل المبني. تعتمد العديد من هذه الأنظمة على تقنية بصمة قوة إشارة Wi-Fi المستقبلة RSSI Wi-Fi Received Signal Strength Indicator ك-nearest neighbors (KNN) شائعة لقرتها على الاستفادة من البنية التحتية اللاسلكية الموجودة. تعد خوارزمية KNN أحد خوارزميات التعلم الآليّة التي تهدف إلى تحسين دقة تحديد الموضع الداخليّة في الطابق الأول لمبني كلية العلوم التقنية - مصراتة بمساحة تبلغ (43.24 متر \* 66.71 متر) باستخدام 13 نقطة وصول بمواقعها الأصلية. تم تطبيق تطبيق Z-score على بيانات RSSI باستخدام نموذج التحليل اللوغاريتمي للمسافة. تمت مقارنة أداء خوارزمية KNN التقليدية مع نسخة محسنة تعتمد على الترجيح (Weighted KNN - WKNN) عبر قيمة مختلفة للمعامل K (عدد الجيران الأقرب). أظهرت النتائج أن القيمة المثلثيّة K=9 تحقق أفضل متوسط خطأ في المسافة (MDE) للكلاس خوارزميتين بعد التطبيع. حققت WKNN تحسيناً طفيفاً مقارنة بـ KNN حيث بلغ MDE حوالي 3.28 متر مقابل 3.31 متر لـ WKNN عند K=9. كما أظهرت WKNN دقة أعلى بشكل طفيف ضمن هوماش خطأ مختلف (مثل 56% مقابل 55%) ضمن 3 أمتر ، و 83% مقابل 82% ضمن 5 أمتر . يساهم العمل في تقييم و تطبيق أنظمة تحديد موقع داخليّة أكثر كفاءة و موثوقية في البيئات التعليمية.

**الكلمات المفتاحية :** خوارزمية KNN ، خوارزمية WKNN ، تطبيق z-score ، المسافة الاقليدية.

#### Abstract

Indoor Positioning Systems (IPS) are becoming increasingly important in applications that require accurate indoor tracking. Many of these systems rely on the Wi-Fi RSSI (Wi-Fi Received Signal Strength Indicator) fingerprint technology for its ability to leverage existing wireless infrastructure. The K-Nearest Neighbors (KNN) algorithm is commonly used. But its accuracy is affected by RSSI fluctuations. This study aims to improve the indoor positioning performance on the first floor of the Faculty of Technical Sciences - Misrata building with an area of (43.24 m \* 66.71 m) using 13 access points with their original locations. Z-score normalization was applied to the RSSI data using a logarithmic distance shading model. The

performance of the traditional KNN algorithm was compared with an improved weight-based version (Weighted KNN - WKNN) across different values of the parameter K (number of nearest neighbors). The results showed that the optimal value of K=9 achieves the best mean distance error (MDE) for both algorithms after normalization. WKNN achieved a slight improvement compared to KNN with an MDE of about 3.28 meters for WKNN versus 3.31 meters for KNN at K=9. WKNN also showed slightly higher accuracy within different error margins (e.g. 56% vs. 55% within 3 meters, and 83% vs. 82% within 5 meters). The work contributes to the evaluation and implementation of more efficient and reliable indoor positioning systems in educational environments.

**Keywords:** KNN algorithm, WKNN algorithm, RSSI, Z-score normalization, Euclidean distance.

## مقدمة

أحدث التطورات المتتسارعة في تقنيات اللاسلكية و الانتشار الواسع للأجهزة المحمولة ثورة في كيفية تفاعلنا مع البيئات المحيطة بنا ، لاسيما داخل المباني و المساحات المغلقة حيث تفقد أنظمة تحديد الموقع العالمية ( GPS ) ففعاليتها. نتيجة لذلك ، برزت الحاجة الماسة إلى تطوير أنظمة تحديد الموقع الداخلية ( Indoor Positioning System - IPS ) القادرة على توفير معلومات دقيقة حول موقع المستخدمين أو الأصول في الوقت الفعلي. تجد هذه الأنظمة تطبيقات واسعة في مجالات متعددة تشمل الملاحة داخل المبني الكبير ، و تتبع الأصول ، و توفير خدمات قائمة على الموقع ، و تعزيز السلامة و الأمان ، في السياق التعليمي ، مثل كلية العلوم التقنية - مصراتة ( CTSM ) ، يمكن لهذه الأنظمة أن تدعم تطبيقات مثل تتبع حضور الطلاب ، و إدارة استخدام المختبرات و المرافق ، و توجيه الزوار و الطلاب الجدد ، و توفير خدمات معلوماتية مخصصة للموقع.[1][2].

من بين التقنيات المتعددة المستخدمة في أنظمة تحديد الموقع الداخلية ، اكتسبت تقنية بصمة قوة الإشارة المستقبلة لشبكات الوايف اي RSSI اهتماما كبيرا نظرا لميزتها الجوهرية المتمثلة في إمكانية الاستفادة من البنية التحتية لشبكات Wi-Fi المنتشرة بالفعل في معظم المباني الحديثة ، بما في ذلك مبني CTSM ، مما يقلل من تكاليف النشر و التركيب ، يعتمد مبدأ تحديد الموقع باستخدام بصمة RSSI على مرحلتين رئيسيتين: مرحلة التدريب ( Offline Phase ) و مرحلة التشغيل ( Online Phase ). في مرحلة التدريب يتم إنشاء قاعدة بيانات مرجعية ( خريطة الإشارة اللاسلكية ) عن طريق قياس و تسجيل قيم RSSI من نقاط الوصول ( APs ) المتاحة عند موقع مرجعية ( RPs ) ، معروفة الاحداثيات داخل البيئة المستهدفة . أما في مرحلة التشغيل ، فيقوم المستخدم بقياس قيم RSSI الحالية ، ثم تتم مقارنة هذه القياسات مع البصمات المخزنة في قاعدة البيانات المرجعية باستخدام خوارزمية تصنف مناسبة لتقدير موقع المستخدم.[3][4].

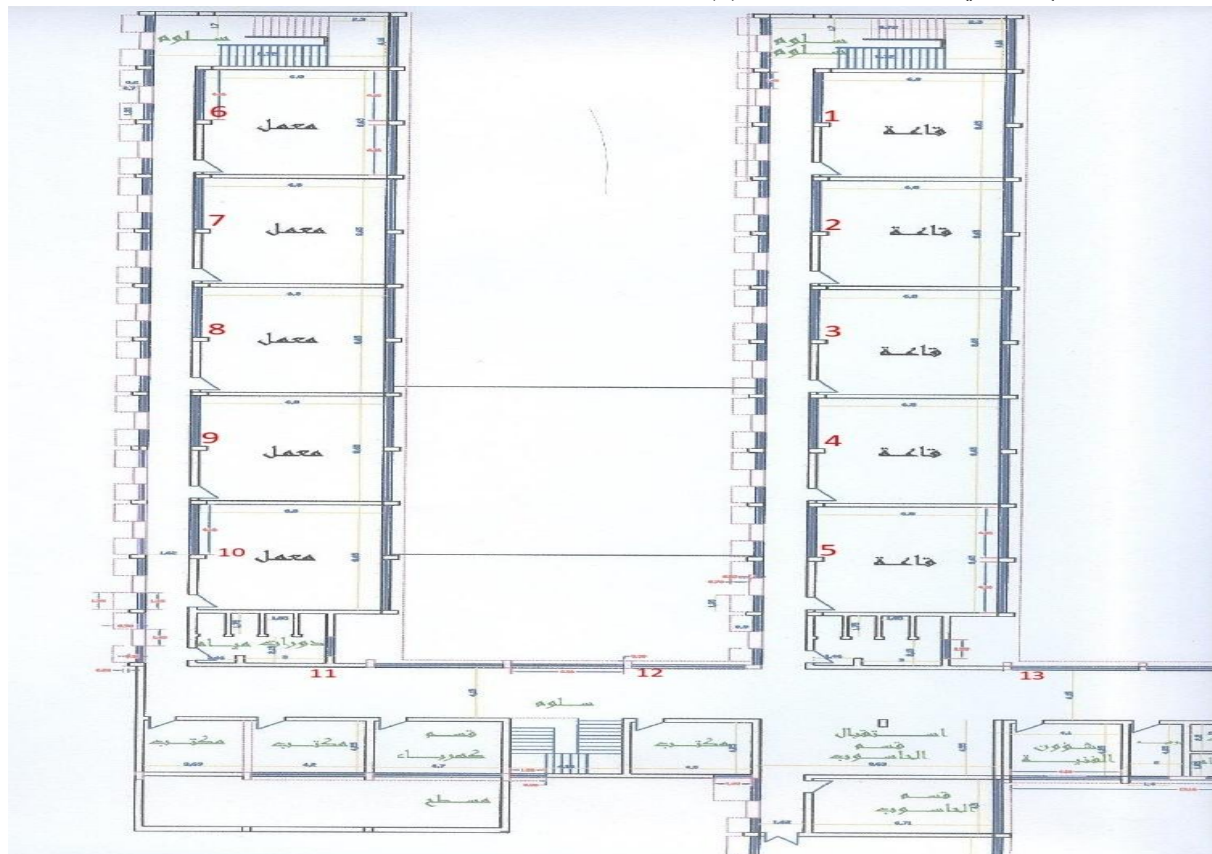
تعد خوارزمية ( K-Nearest Neighbors (KNN ) واحدة من أكثر خوارزميات التصنيف شيوعا و بساطة و فعالية في تطبيقات تحديد الموقع المعتمدة على بصمة RSSI. تقوم الخوارزمية بحساب المسافة ( عادة الاقلية ) بين بصمة RSSI المقاسة حاليا و جميع البصمات في خريطة الراديو. ثم تحدد أقرب K بصفة مرجعية ، و يتم تقدير الموقع الحالي كمتوسط (أو متوسط مرجح) لموقع هذه الجيران الأقرب ، على الرغم من بساطتها ، تواجه KNN تحديات تتعلق بقبالات إشارة RSSI و الحاجة إلى معالجة البيانات و اختيار قيمة K المثلى لتحقيق أفضل دقة ، خاصة في البيئات الكبيرة مثل مبني CTSM .[5][6].

تهدف هذه الورقة البحثية إلى دراسة و تحسين أداء نظام تحديد الموقع الداخلية القائم على Wi-Fi RSSI في البيئة المحددة لمبني كلية العلوم التقنية - مصراتة، مع الأخذ في الاعتبار الابعاد المحددة ( 66.71\*43.24 متر ) و استخدام 13 نقطة وصول ب مواقعها الأصلية المستخرجة من المخطط. سيتم التركيز على مقارنة أداء خوارزمية KNN التقليدية مع نسخة محسنة منها، وهي خوارزمية الجiran الأقرب الموزونة ( WKNN ) Weighted K-Nearest Neighbors - WKNN، سيتم تقييم الأداء باستخدام مقاييس دقة مثل متوسط الخطأ في المسافة Z-score لمعالجة بيانات RSSI، سيتم تقييم الأداء باستخدام مقاييس دقة مثل متوسط الخطأ في المسافة MDE ) و دقة تحديد الموقع ضمن هواشم خطأ مختلفة، و تقديم نتائج مفصلة لتقدير التحسينات المقترنة [1][7].

يصف هذا القسم بالتفصيل الإجراءات التجريبية المتبعة في هذه الدراسة لتقدير وتحسين أداء خوارزميات تحديد المواقع الداخلية باستخدام البصمة اللاسلكية Wi-Fi RSSI في البيئة المحددة للطابق الأول بمبنى كلية العلوم التقنية – مصراتة .CTSM

تشمل المنهجية اعداد البيئة التجريبية، جمع البيانات، معالجة البيانات، و تقييم خوارزميتي KNN و WKNN ، مع التركيز على الأسس الرياضية لكل خطوة.

1. إعداد بيئة التجربة : تم تصميم بيئة التجربة على الطابق الاول من مبني كلية العلوم التقنية – مصراتة CTSM و الذي يمتد على مساحة مستطيلة تبلغ 66.71 مترا طولا ( المحور X ) و 43.24 مترا عرضا ( المحور Y ). ثم استخدام المواقع الاصلية لـ 13 نقطة وصول ( APs ) من نوع Wi-Fi فياسي، و التي تم استخلاصها من المخطط المعماري الأصلي للمبني المبين بالشكل (1).



الشكل (1) : الشكل المعماري للطابق الأول بكلية العلوم التقنية مصراتة.

- تم انشاء شبكة من النقاط المرجعية ( RPs ) بتوزيع منتظم بفارق 2.5 متر، مما نتج عنه 459 نقطة مرجعية فعلية ( $x_{rp}, y_{rp}$ ) لكل نقطة . كما تم تحديد 150 نقطة اختبار ( $x_{tp}, y_{tp}$ ) في موقع عشوائية لتقدير الأداء.
2. جمع بيانات RSSI لإنشاء قاعدة بيانات لقوية الإشارة اللاسلكية، تم استخدام نموذج انتشار الإشارة اللوغاريتمي للمسافة مع إضافة تأثير التظليل العشوائي (Long-normal shadowing model) . يفترض هذا النموذج أن قوة الإشارة المستقبلة (بالديسيبل ملي واط، dBm) تتناقص لوغاريتمية مع المسافة و تتأثر بنقلبات عشوائية تتبع توزيعا طبيعيا. يتم تمثيل النموذج بالمعادلة التالية:

$$RSSI(d) = P_0 - 10 \cdot n \cdot \log_{10}(d) + X_o \quad (1)$$

حيث :

$RSSI(d)$  : هي قوة الإشارة المستقبلة على مسافة  $d$

$P_0$  : هي قوة الإشارة المستقبلة على مسافة مرجعية (عادة 1 متر)

$n$  : هو معامل فقدان المسار (Path Loss Exponent) الذي يعتمد على خصائص البيئة

$d$  : هي المسافة الأقلية بين جهاز الارسال (AP) و جهاز الاستقبال (TP أو RP)

$\sigma_o$  : هو متغير عشوائي يتبع توزيعاً طبيعياً بمتوسط صفر و انحراف معياري  $\sigma$  (بالديسيبل) و يمثل تأثير التظليل في هذه المحاكاة تم استخدام نفس معلمات النموذج كما في الدراسة المرجعية لحفظ على الاتساق:

$$\sigma = 4\text{dB}, n = 3.5, P_0 = -40\text{dBm}$$

تم حساب المسافة الأقلية  $r_{ij}$  بين كل نقطة استقبال (سواء كانت نقطة مرجعية أو نقطة اختبار)  $i$  وكل نقطة وصول  $j$  باستخدام المعادلة القياسية:

$$d_{ij} = \sqrt{(x_i - x_{ap,j})^2 + (y_i - y_{ap,j})^2} \quad (2)$$

حيث  $(x_i, y_i)$  هي إحداثيات نقطة الاستقبال و  $(x_{ap,j}, y_{ap,j})$  هي إحداثيات نقطة الوصول  $j$ . تم تطبيق المعادلة (1) باستخدام المسافات المحسوبة (المعادلة 2) لكل زوج (نقطة استقبال ، نقطة وصول) للحصول على بصمة RSSI كاملة (متوجه من 13 قيمة) لكل موقع مرجعي و نقطة اختبار.

3- معالجة البيانات الأولية قبل تطبيق خوارزمية تحديد الموقع تم اجراء خطوتين لمعالجة بيانات RSSI الأولية:

ا- التعامل مع القيم الضعيفة: تم استبدال أي قراءة RSSI أقل من -100 dBm بالقيمة -100 dBm

يمثل هذا الحد الأدنى للإشارة التي يمكن اكتشافها بشكل موثوق و يساعد في تجنب تأثير القيم المنخفضة جداً و غير الواقعية.

ب- تطبيق البيانات (Z-score Normalization): نظراً لأن الخوارزميتين KNN و WKNN تعتمدان على حساب المسافات متوجهات RSSI ، فإن الاختلاف في متوسط و مقياس قيم RSSI بين نقاط الوصول المختلفة يمكن أن يؤثر سلباً على الأداء. لمعالجة ذلك تم تطبيق تطبيق Z-score على بيانات RSSI لكل نقطة وصول  $j$  على حدة عبر مجموعة بيانات النقاط المرجعية (459 نقطة).

تم حساب متوسط  $\mu$  و الانحراف لمعياري  $\sigma_j$  لقيمة RSSI لنقطة الوصول  $j$  عبر جميع النقاط المرجعية . ثم تم تحويل كل قراءة أصلية  $r_{ij}$  (القراءة من AP  $j$  عند النقطة  $i$ ) إلى قيمة مطبعة  $r'_{ij}$  باستخدام المعادلة :

$$r'_{ij} = \frac{r_{ij} - \mu_j}{\sigma_j} \quad (3)$$

تم استخدام قيم  $\mu$  و  $\sigma$  المحسوبة من بيانات التدريب (النقاط المرجعية) لتطبيع بيانات نقاط الاختبار (150) لضمان الاتساق و تجنب تسرب المعلومات من مجموعة الاختبار إلى عملية التدريب [1][3].

4- تطبيق خوارزمية تحديد الموقع و تقييمها تم باستخدام خوارزميتي (KNN) و (Weighted K-Nearest Neighbors (WKNN

أ- خوارزمية KNN التقليدية

1. حساب المسافة لكل نقطة اختبار  $TP_i$  ذات بصمة RSSI مطبعة  $r'_{tp,i}$  تم حساب المسافة الأقلية بينها و بين كل نقطة مرجعية  $RP_m$  ذات بصمة مطبعة  $r'_{rp,m}$  باستخدام المعادلة :

$$D(TP_i, RP_m) = \sqrt{\sum_{j=1}^{13} (r'_{tp,ij} - r'_{rp,mj})^2} \quad (4)$$

2. تحديد الجiran الأقرب : تم ترتيب جميع النقاط المرجعية بناء على مسافتها المحسوبة (  $D(TP_i, RP_m)$  ) من نقطة الاختبار  $TP_i$  . تم تحديد مجموعة  $N_k(TP_i)$  التي تحتوي على اقرب K نقطة مرجعية .
3. تقدير الموقع : تم تقدير موقع نقطة الاختبار (  $\hat{x}_{tp,i}, \hat{y}_{tp,i}$  ) عن طريق حساب المتوسط البسيط لإحداثيات (Y,X) للجiran الأقرب لـ k في مجموعة  $N_k(TP_i)$

$$\hat{x}_{tp,i} = \frac{1}{k} \sum_{RP_m \in N_k(TP_i)} x_{rp,m} \quad (5)$$

$$\hat{y}_{tp,i} = \frac{1}{k} \sum_{RP_m \in N_k(TP_i)} y_{rp,m} \quad (6)$$

ب- خوارزمية WKNN المحسنة تتبع خوارزمية KNN نفس الخطوتين الاوليتين (حساب المسافة و تحديد الجiran الأقرب) مثل KNN. الاختلاف الرئيسي يكمن في خطوة تقدير الموقع ، حيث يتم إعطاء وزن أكبر للنقاط المرجعية الأقرب في فضاء الإشارة.

1. حساب الاوزان: لكل جار  $RP_m$  في مجموعة الجiran الأقرب ( $N_k(TP_i)$  ، تم حساب وزن  $\omega_m$  يعتمد على معکوس المسافة الإقلية المحسوبة من المعادلة (4):

$$\omega_m = \frac{1}{D(TP_i, RP_m) + \epsilon}$$

حيث  $\epsilon$  هي قيمة صغيرة جدا (مثل  $10^{-6}$ ) تضاف لتجنب القسمة على صفر في حالة تطابق الاختبار تماما مع بصلة مرجعية.

2. تقدير الموقع (المتوسط الموزون): تم تقدير موقع نقطة الاختبار (  $\hat{x}_{tp,i}, \hat{y}_{tp,i}$  ) عن طريق حساب المتوسط الموزون لإحداثيات الجiran الأقرب الـ k باستخدام الأوزان المحسوبة:

$$\hat{x}_{tp,i} = \frac{\sum_{RP_m \in N_k(TP_i)} \omega_m \cdot x_{rp,m}}{\sum_{RP_m \in N_k(TP_i)} \omega_m} \quad (7)$$

$$\hat{y}_{tp,i} = \frac{\sum_{RP_m \in N_k(TP_i)} \omega_m \cdot y_{rp,m}}{\sum_{RP_m \in N_k(TP_i)} \omega_m} \quad (8)$$

ج - مقاييس التقييم لتقدير أداء كل من KNN و WKNN تم استخدام المقاييس التالية :

- 1- خطأ المسافة (Distance Error - DE) : لكل نقطة اختبار  $TP_i$  ، تم حساب خطأ المسافة الإقلية بين الموقع المقدر (  $(\hat{x}_{tp,i}, \hat{y}_{tp,i})$  ) و الموقع الفعلي (  $(x_{tp,i}, y_{tp,i})$  )

$$DE_i = \sqrt{(\hat{x}_{tp,i} - x_{tp,i})^2 + (\hat{y}_{tp,i} - y_{tp,i})^2} \quad (9)$$

- 2- متوسط خطأ المسافة (Mean Distance Error - MDE) : تم حساب متوسط أخطاء المسافة لجميع نقاط الاختبار (حيث  $= (150N_{tp})$  )

$$MDE = \frac{1}{N_{tp}} \sum_{i=1}^{N_{tp}} DE_i \quad (10)$$

- 3- دقة تحديد الموقع (Accuracy at threshold): تم حساب النسبة المئوية لنقاط الاختبار التي كان خطأ المسافة  $DE_i$  الخاص بها أقل من أو يساوي عتبى خطأ معينة  $T$  مثل (10 ، 20 ، 30 ، 50 ، 70 ، 100) تم تكرار عملية التقييم هذه باستخدام بيانات RSSI المطبعة (Z-score) لقيم مختلفة لـ K (من 1 إلى 15) لكلا الخوارزميتين (WKNN و KNN) لتحديد الإعداد الأمثل و مقارنة الأداء بينهما في سياق مبني CTSM [1] [5][6] [8].

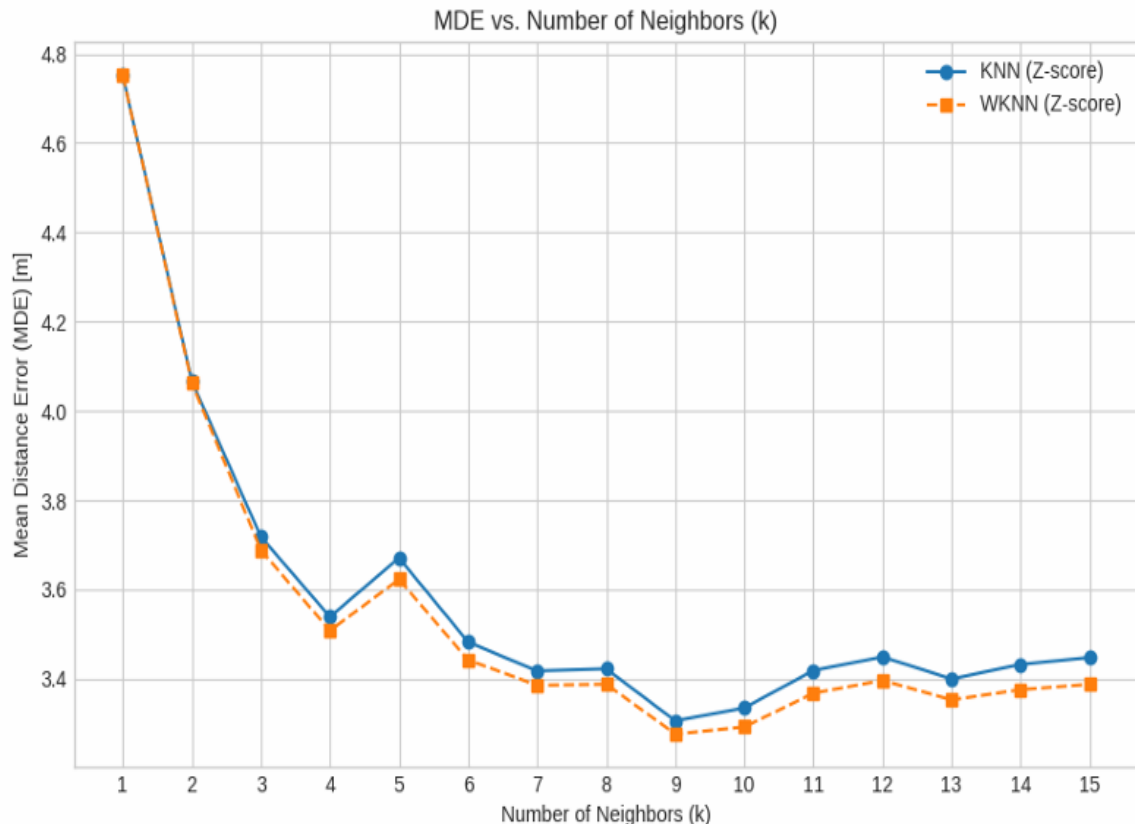
## النتائج

يقدم هذا القسم النتائج المستمدة من تطبيق و تقييم خوارزميتي KNN و WKNN لتحديد الموقع الداخلية في بيئة مبنى كلية العلوم التقنية – مصراتة (43.24 \* 66.71 متر و 13 نقطة وصول لموقعها الاصليه) باستخدام بيانات المطبعة (Z-score) . تم تحليل تأثير تغير قيمة 'K' (عدد الجيران الأقرب) من 1 إلى 15 على مقاييس الأداء الرئيسية : متوسط خطأ المسافة (MDE) و دقة تحديد الموقع ضمن هوامش خطأ مختلفة ( 1 ، 2 ، 3 ، 5 ، 7 ، 10 م ) .

1. تأثير قيمة 'K' على متوسط المسافة (MDE) : تم حساب متوسط خطأ المسافة (MDE) بين الموقع المقدرة بواسطة KNN و WKNN و الموقع الفعلي لنقطة الاختبار (150 نقطة) و ذلك لقيم مختلفة للمعلمة 'K'. يوضح

الشكل 1 المقارنة بين أداء الخوارزميتين من حيث MDE .

الشكل2 : مقارنة خطأ المسافة (MDE) بالметр مقابل قيم مختلفة لـ K (من 1 إلى 15) لخوارزميتي KNN و WKNN باستخدام تطبيق Z-score



الشكل2 : مقارنة خطأ المسافة (MDE) مقابل قيم مختلفة لـ K.

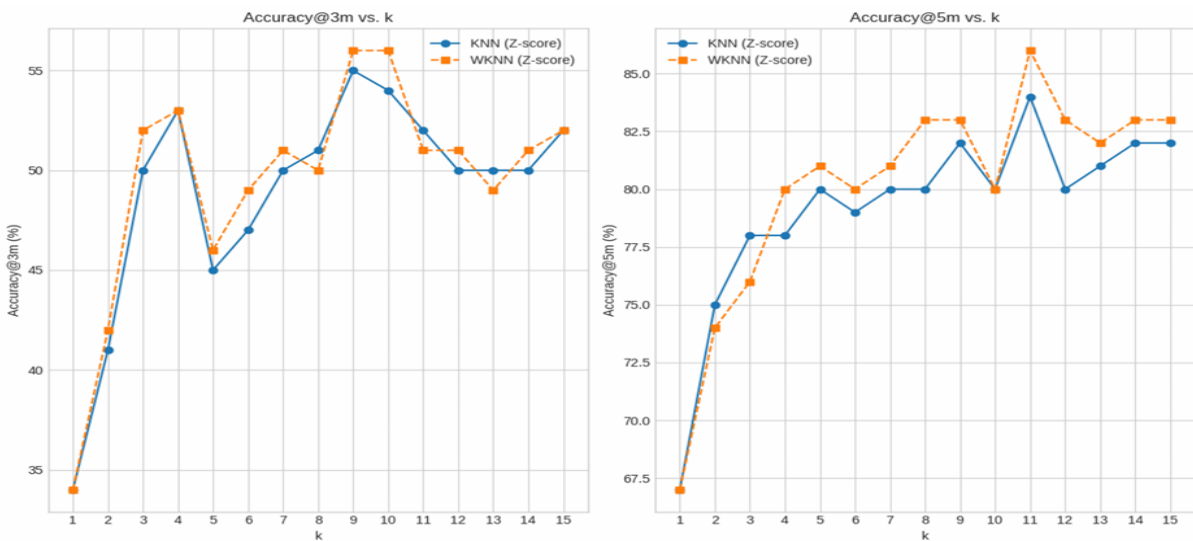
يظهر الشكل 2 ان كلا الخوارزميتين تتبعان نمطا مشابها، حيث ينخفض MDE بشكل عام مع زيادة قيمة K ، ليصل إلى منطقة استقرار أو تحسن طفيف عند قيم K الأعلى . بالنسبة لخوارزمية KNN التقليدية ، تم تحقيق أقل MDE ( حوالي 3.31 ) عند  $k=9$ . اما بالنسبة لخوارزمية WKNN المحسنة، فقد استمر التحسن الطفيف مع زيادة K ، وتم تحقيق اقل MDE ( حوالي 3.28 متر ) عند  $k=9$  ، ولكنه ظل منخفضا جدا عند قيم K الأعلى ، مثل 3.35 متر عند  $k=13$

بشكل عام تظهر WKNN تحسنا طفيفا في MDE مقارنة بـ KNN ، خاصة عند القيم المتوسطة و العالية لـ K

، عبر معظم قيم KNN

2. تأثير قيمة 'K' على دقة تحديد الموقع: تم تقييم دقة تحديد الموقع كنسبة مئوية للتقديرات التي تقع ضمن نصف قطر خطأ معين T ، يوضح شكل 3 مقارنة الدقة ضمن 3 أمتر و 5 أمتر لقيم K المختلفة لكلا الخوارزميتين.

الشكل 3 : مقارنة دقة تحديد الموقع (كنسبة مئوية) ضمن 3 أمتر و 5 أمتر مقابل قيم مختلفة لـ K لخوارزميتي KNN و WKNN باستخدام تطبيق Z-score

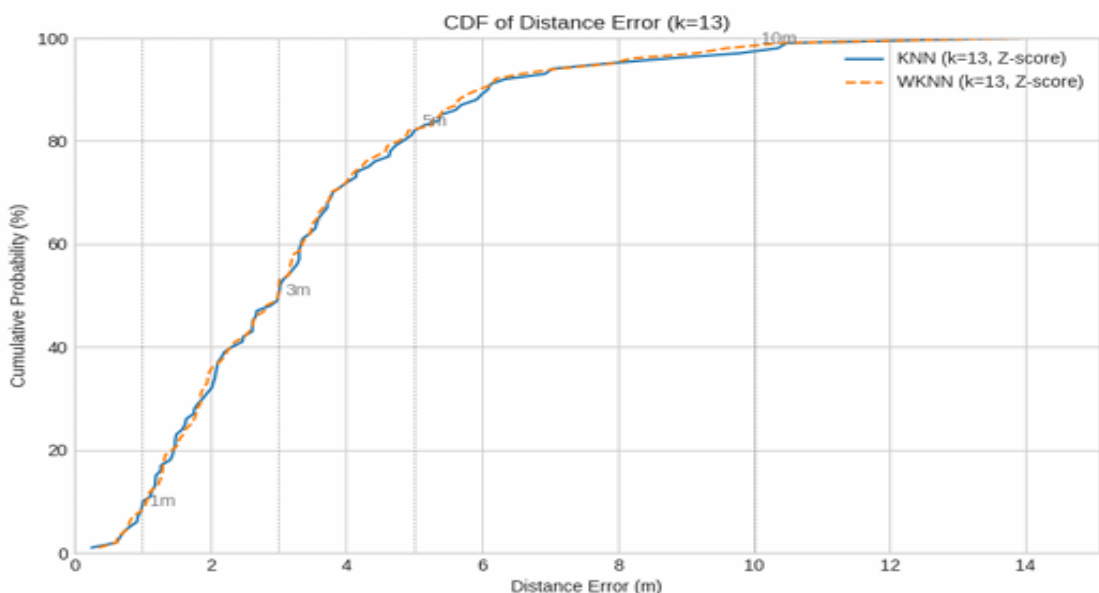


الشكل 3 : مقارنة دقة تحديد الموقع مقابل قيم مختلفة لـ  $K$  لـ KNN و WKNN باستخدام تطبيق Z-score.

يتضح من الشكل 3 أن دقة التصنيف ضمن 3 أمتار (Acc@3m) تتحسن بشكل ملحوظ مع زيادة  $K$  لكلا الخوارزميتين، و تصل إلى ذروتها عند  $K=9$  تقربياً (حوالى 55%) لـ KNN و 56% لـ WKNN. تظهر الدقة ضمن 5 أمتار (Acc@5m) في الشكل 3 تحسناً مع زيادة  $K$  ، و تصل حوالي 82-83% عند قيمة  $K$  الأعلى (مثل  $K=9$  و ما فوق ) لكلا الخوارزميتين. مرة أخرى تظهر KNN تفوقاً طفيفاً أو أداء مشابهاً لـ KNN من حيث الدقة عند معظم قيم  $K$ .

3. دالة التوزيع التراكمي (CDF): لخطأ تحديد الموقع لتوفير نظرة شاملة على توزيع أخطاء تحديد الموقع ( $DE_i$ ) عند قيمة  $K$  المثلثي التي أظهرت أفضل توازن بين MDE و الدقة (تم اختيار  $K=9$  بناء على أقل (MDE). تم رسم دالة التوزيع التراكمي (CDF) للأخطاء لكلا الخوارزميتين كما هو موضح في الشكل 4.

الشكل 4: دالة التوزيع التراكمي (CDF) لخطأ تحديد الموقع (المتر) عند استخدام الاعداد الأمثل ( $k=9$ ) لخوارزميتي KNN و WKNN مع تطبيق Z-score تظهر الخطوط المنقطعة و النصوص المرفقة قيم الدقة عند هماش خطأ محدد.



الشكل 4: دالة التوزيع التراكمي (CDF) لخطأ تحديد الموقع عند استخدام الاعداد الأمثل ( $k=9$ ).

يؤكد الشكل 4 النتائج السابقة. عند  $K=9$  : حفقت MDE بـ 3.31 متر. بلغت الدقة حوالي 8% ضمن 1 متر. 29% ضمن 2 متر ، 55% ضمن 3 أمتر، 82% ضمن 5 أمتر، 95% ضمن 7 أمتر، 98% ضمن 10 أمتر .

WKNN : حفقت MDE بـ 3.28 متر (تحسن طفيف). بلغت الدقة حوالي 9% ضمن 1 متر. 30% ضمن 2 متر ، 56% ضمن 3 أمتر، 83% ضمن 5 أمتر، 95% ضمن 7 أمتر، 98% ضمن 10 أمتر . تظهر مقارنة منحنى CDF WKNN يقع بشكل عام إلى يسار منحنى KNN ، مما يشير إلى أن WKNN تميل إلى تحقيق أخطاء أصغر بشكل طفيف مقارنة بـ KNN عند نفس قيمة  $K$  المثلثي . 4. ملخص الجداول الرقمية: يلخص الجدول التالي النتائج الرئيسية لأداء KNN و WKNN عند القيمة المثلثي  $Z\text{-score}$  باستخدام تطبيق  $K=9$

**الجدول 1:** ملخص مقارنة أداء KNN و WKNN عند  $K=9$  مع تطبيق  $Z\text{-score}$

الخوارزمية	$K$	MDE (m)	$Z\text{-score}$	Acc@1m (%)	Acc@2m (%)	Acc@3m (%)	Acc@5m (%)	Acc@7m (%)	Acc@10m (%)
KNN	9	3.31	-8.0	29.0	55.0	82.0	95.0	98.0	98.0
WKNN	9	3.28	-9.0	30.0	56.0	83.0	95.0	95.0	98.0

تؤكد النتائج الرقمية و الرسوم البيانية أن كلا الخوارزميتين يمكنهما تحقيق دقة تحديد موقع جيدة في مبني CTSM . أظهرت خوارزمية WKNN تحسنا طفيفا و لكنه ثابت في الأداء مقارنة بخوارزمية KNN التقليدية عند استخدام نفس قيمة  $K$  المثلثي و معالجة البيانات باستخدام تطبيق  $Z\text{-score}$ .

#### المناقشة

تناقش هذه الورقة أداء خوارزميتي KNN و WKNN لتحديد الموضع الداخلي باستخدام بصمة Wi-Fi RSSI في بيئة مبني تعليمي . أظهرت النتائج أن كلا الخوارزميتين قادرتان على توفير دقة تحديد موقع مقبولة ، مع تفوق طفيف و مستمر لخوارزمية WKNN . يعزى هذا التحسن إلى الية الترجيح التي تمنح أهمية أكبر للجيران الأقرب في فضاء الإشارة ، مما يقلل من تأثير النقاط البعيدة أو الشاذة التي قد تؤثر سلبا على دقة التقدير في KNN التقليدية.

تأثير تطبيق  $Z\text{-score}$ : كان لتطبيق تطبيق  $Z\text{-score}$  تأثير إيجابي على أداء كلا الخوارزميتين . يساعد هذا التطبيق في توحيد مقياس قيم RSSI عبر نقاط الوصول المختلفة، مما يقلل من التحيزات المحتملة الناتجة عن الاختلاف في قوة إشارة أجهزة الإرسال أو خصائص الانتشار. هذا يضمن أن المسافات المحسوبة بين بصمات RSSI تعكس بشكل أكثر دقة التشابه الفعلي بين الموضع.

اختيار قيمة  $K$ : أظهرت النتائج أن قيمة  $K=9$  كان الأمثل لكلا الخوارزميتين في هذه البيئة المحددة . تشير هذه القيمة إلى وجود توازن جيد بين تقليل تأثير الضوضاء(عن طريقأخذ متوسط لعدد كاف من الجيران) وتجنب التعريم المفرط الذي قد يحدث مع قيم  $K$  الكبيرة جدا، مما يؤدي إلى فقدان التفاصيل المحلية. القيم الصغيرة جدا  $-K$  (مثل  $K=1$ ) تجعل النظام حساسا للضوضاء ، بينما القيم الكبيرة جدا قد تؤدي إلى تقديرات أقل دقة بسبب تضمين جيران بعيدين جدا.

#### الخاتمة

قدمت هذه الدراسة تقييما و تحسينا لأداء أنظمة تحديد الموضع الداخلي القائمة على بصمة Wi-Fi RSSI باستخدام خوارزميتي KNN و WKNN في الطابق الأول بمبني كلية العلوم التقنية – مصراتة.

أظهرت النتائج أن تطبيق تطبيق  $Z\text{-score}$  و تحسين خوارزمية WKNN و KNN يوفر تحسنا طفيفا و لكنه ثابت في دقة تحديد الموضع . كانت القيمة المثلثي لعدد الجيران الأقرب ( $K$ ) هي 9 لكلا الخوارزميتين ، مما حقق متوسط خطأ في المسافة يبلغ 3.28 متر  $-K$  WKNN و 3.31 متر  $-K$  KNN . تؤكد هذه النتائج على إمكانية استخدام تقنيات تحديد الموضع الداخلية القائمة على Wi-Fi بكفاءة في البيئات التعليمية ، و تفتح آفاقا للبحث المستقبلي نحو أنظمة أكثر قوة و دقة في التطبيقات الواقعية.

## قائمة المراجع:

- [1] An Improved Weighted K-Nearest Neighbor Algorithm for Indoor Localization. ResearchGate. (2025, May 2). [https://www.researchgate.net/publication/347614407\\_An\\_Improved\\_Weighted\\_KNearest\\_Neighbor\\_Algorithm\\_for\\_Indoor\\_Localization](https://www.researchgate.net/publication/347614407_An_Improved_Weighted_KNearest_Neighbor_Algorithm_for_Indoor_Localization)
- [2] Machine Learning-Based WiFi Indoor Localization with FasterKAN. ESPublisher. (2024, October 28). [https://www.espublisher.com/uploads/article\\_pdf/es1289.pdf](https://www.espublisher.com/uploads/article_pdf/es1289.pdf)
- [3] Indoor Localization Methods for Smartphones with Multi-Source. MDPI. (2025, March 14). <https://www.mdpi.com/1424-8220/25/6/1806>
- [4] An Enhanced Indoor Positioning Method Based on RTT and RSS. IEEE Xplore. (2024, October 1). <https://ieeexplore.ieee.org/iel8/7361/10704012/10643433.pdf>
- [5] A device free high-precision indoor positioning and tracking method. Nature. (2025, May 21). <https://www.nature.com/articles/s41598-025-02876-1>
- [6] High accuracy indoor positioning system using Galois field-based. Nature. (2025, April 29). <https://www.nature.com/articles/s41598-025-97715-8>
- [7] Local Batch Normalization-Aided CNN Model for RSSI-Based. MDPI. (2025, March 13). <https://www.mdpi.com/2079-9292/14/6/1136>
- [8] Anomaly detection using machine learning and adopted digital twin. Nature. (2025, May 26). <https://www.nature.com/articles/s41598-025-02759-5>